

# Wahana Fisika

Journal homepage: <a href="https://ejournal.upi.edu/index.php/wafi">https://ejournal.upi.edu/index.php/wafi</a>



# Analisis Ancaman Gempa Lombok Menggunakan Metode Spasial Temporal A-Value Dan B-Value Periode 1964- 2022

Ibna Fithri Hamidah<sup>1</sup>, Alhada Farduwin<sup>1</sup>, Yudha Styawan<sup>1</sup>\*, Izaina Nurfitriana<sup>1</sup>, Nugroho Prasetyo<sup>1</sup>, Wahyu Eko Junian<sup>1</sup>, Rizki Wulandari<sup>1</sup>

<sup>1</sup>Program Studi Teknik Geofisika, Institut Teknologi Sumatera, Jl. Terusan Ryacudu, Lampung 35365

\* Corresponding author. E-mail: yudha.styawan@tg.itera.ac.id

#### **ABSTRAK**

Gempa Lombok yang terjadi pada 5 Agustus 2018 merupakan gempa signifikan dengan magnitudo sebesar 7,0 pada kedalaman pusat gempa 15 km yang disebabkan oleh aktivitas sesar Flores. Gempa signifikan memberikan dampak kerusakan dan korban jiwa cukup tinggi. Dari dampak yang terjadi dilakukan upaya mitigasi bencana untuk meminimalisir dampak terjadi gempa dengan melakukan analisis parameter seismotektonik a-value dan bvalue secara spasial-temporal. Penentuan parameter a-value dan b-value juga bergantung terhadap estimasi nilai magnitude of completeness (Mc). Data penelitian yang digunakan berupa data katalog gempa bumi ISC dan BMKG dengan magnitudo 0,7-7,5 dan kedalaman 0,1-50 km periode 1964-2022. Berdasarkan distribusi frekuensi magnitudo area sesar Flores diperoleh a-value 5,46 dan b-value 1,04 dengan nilai Mc sebesar 3,7. Hasil variasi spasial untuk wilayah kepulauan Sunda Kecil diperoleh a-value berkisar 3,0 - 5,5 dan nilai b-value berkisar 0,3 – 0,5 yang didominasi a-value dan b-value relatif rendah. Pada variasi temporal b-value sebelum terjadinya gempa signifikan Lombok 2018 terdapat peningkatan b-value yang terjadinya secara bertahap hingga

#### INFO ARTIKEL

#### Sejarah Artikel:

Diserahkan November 2025 Diterima Juni 2025 Tersedia secara online Juni 2025 Tanggal Publikasi 30 Juni 2025

#### Kata Kunci:

magnitude completeness, spasial, temporal, sesar Flores.

mengalami penurunan *b-value* secara signifikan dan setelah terjadinya gempa Lombok 2018 nilai *b-value* yang dihasilkan cukup konstan tidak terdapat banyak peningkatan atau penurunan pada *b-value*.

#### ABSTRACT

The Lombok earthquake that occurred on August 5, 2018 was a significant earthquake with a magnitude of 7.0 at a epicentre depth of 15 km caused by Flores fault activity. The significant earthquake caused high damage and casualties. From the impacts that occurred, disaster mitigation efforts were made to minimize the impact of the earthquake by analysing the seismotectonic parameters a-value and bvalue spatially-temporally. The determination of a-value and b-value parameters also depends on the estimated magnitude of completeness (Mc) value. The research data used are ISC and BMKG earthquake catalogue data with magnitudes of 0.7-7.5 and depths of 0.1-50 km for the period 1964-2022. Based on the frequency distribution of the magnitude of the Flores fault area, a-value 5.46 and b-value 1.04 were obtained with a Mc value of 3.7. The results of spatial variations for the Lesser Sunda Islands region obtained a-values ranging from 3.0 - 5.5 and b-values ranging from 0.3 - 0.5 which are dominated by relatively low a-values and b-values. In the temporal variation of the bvalue before the significant Lombok 2018 earthquake there was a gradual increase in the b-value until it decreased significantly and after the Lombok 2018 earthquake the resulting b-value was quite constant there was not much increase or decrease in the b-value.

#### ARTICLE INFO

#### Article History:

Submitted November 2025 Accepted June 2025 First Available online June 2025 Publication Date June 30, 2025

#### Keyword:

magnitude of completeness, spatial, temporal, Flores fault.

#### 1. Pendahuluan

Indonesia terletak pada jalur pertemuan lempeng besar dunia dan lempeng kecil (microblocks) yang terdiri dari Lempeng Eurasia, Lempeng Indo-Australia, Lempeng Pasifik dan Lempeng Laut Filipina [1]. Selain itu, Indonesia juga termasuk ke dalam kawasan Pasific ring of fire belt area atau cincin api yang menyebabkan Indonesia memiliki tektonik cukup kompleks dengan tingkat kegempaan yang tinggi. Dari proses interaksi lempeng-lempeng tersebut juga menyebabkan adanya serangkaian gunung api, sesar, cekungan yang tersebar di seluruh wilayah Indonesia yang mempengaruhi tingkat kerentanan bahaya bencana seismik [2].

Pulau Lombok merupakan salah satu wilayah yang memiliki tingkat kerawanan gempa bumi cukup tinggi, Hal tersebut disebabkan oleh letak Pulau Lombok yang berada dalam zona kawasan tektonik aktif. Pada tahun 2018, Pulau Lombok bagian utara mengalami serangkaian gempa bumi signifikan. Gempa bumi yang terjadi dimulai dari gempa pendahuluan pada 29 Juli 2018 dengan magnitudo 6,4 pada pusat kedalaman 10 km. Kemudian terjadi gempa pada 5 Agustus 2018 yang menjadi gempa utama dengan magnitudo 7,0 pada kedalaman 15 km. Setelah itu terjadi, gempa bumi kembali pada 19 Agustus 2018 dengan magnitudo 6,9 pada kedalaman 10 km yang terlebih dahulu mengalami gempa *foreshock* dengan magnitudo sebesar 6,3 pada kedalaman 10 km [3].

Dari gempa bumi signifikan yang terjadi di Pulau Lombok memberikan dampak kerugian yang cukup tinggi, sehingga untuk meminimalisir dampak terjadi yang dilakukan analisis seismisitas berdasarkan penentuan parameter seismotektonik a-value dan b-value secara spasial-temporal [4]. Parameter a-value didefinisikan sebagai parameter seismik yang menunjukkan tingkat keaktifan gempa suatu wilayah bergantung pada banyaknya jumlah kejadian, sedangkan *b-value* adalah parameter tektonik yang menunjukkan tingkat kerapuhan batuan dan tingkat stress suatu wilayah [5]. Variasi spasial b-value digunakan untuk memberikan informasi mengenai parameter seismotektonik penelitian, wilayah sedangkan variasi temporal digunakan sebagai prekursor gempa bumi untuk melihat perubahan sebelum terjadinya gempa bumi signifikan [6].

Berdasarkan penelitian yang telah dilakukan oleh [7] yang menjelaskan bahwa wilayah Nusa Tenggara Barat memiliki rentang *a-value* (4-5) dan *b-value* (0,6-0,8) rendah yang mengidentifikasi bahwa wilayah tersebut berpotensi terhadap gempa bumi signifikan. Sedangkan, untuk variasi temporal yang dihasilkan terdapat pola penurunan *b-value* sebelum terjadinya gempa

signifikan di Pulau Sumbawa pada tahun 2007 sebesar 6,5 Mw dan tahun 2018 sebesar 6,9 Mw di Pulau Lombok. Penurunan *b-value* tersebut berkaitan dengan adanya peningkatan *stress*.

Frequency Magnitude Distribution (FMD) digunakan untuk mengetahui aktivitas kegempaan di suatu wilayah. Distribusi frekuensi-magnitudo pertama kali dikemukakan oleh [8] dan [9] yang dirumuskan dalam persamaan sebagai berikut:

$$log(N) = a - bM \tag{1}$$

N adalah jumlah frekuensi kumulatif dan M merupakan magnitudo gempa. N merupakan jumlah gempa magnitudo  $\geq M$  yang dirumuskan dalam persamaan berikut:

$$N = \frac{10^a}{10^{bM}} \tag{2}$$

Parameter a-value dan b-value sebagai konstanta. Parameter a-value merupakan parameter seismik yang digunakan untuk melihat tingkat keaktifan seismik suatu wilayah yang bergantung pada jumlah aktivitas seismiknya. Parameter b-value merupakan parameter tektonik yang menunjukkan tingkat kerapuhan batuan dan tingkat stress suatu wilayah. Jika b-value tinggi menunjukkan tingkat stress suatu wilayah relatif rendah, sedangkan b-value yang rendah memiliki tingkat stress yang relatif tinggi [10].

Metode *maximum likelihood* merupakan metode yang digunakan untuk menentukan

parameter *a-value* dan *b-value* berdasarkan nilai probabilitas maksimal [11]. Parameter *b-value* menggunakan metode *maximum likelihood* dirumuskan dengan persamaan [12] sebagai berikut:

$$b = \frac{\log(e)}{\overline{M} - M_{min}} = \frac{0,434}{\overline{M} - M_{min}}$$
 (3)

 $\overline{M}$  merupakan magnitudo rata-rata,  $M_{min}$  adalah magnitudo terkecil atau *magnitude of completeness* (Mc), dan log *e* sebesar 0,4343. *Magnitude of completeness* (Mc) merupakan magnitudo terendah yang berada di batas bawah magnitudo, dimana 100% dari katalog gempa yang terjadi di suatu wilayah terekam secara sempurna [13]. Perhitungan nilai *error b-value* dapat menggunakan persamaan dari [14]:

$$\sigma_b = 2.30b^2 \sqrt{\sum_{i=1}^n (M_i - \overline{M})^2 / n(n-1)}$$
(4)

dengan n adalah jumlah gempa dalam sampel perhitungan. Kemudian untuk menghitung estimasi *a-value* menggunakan metode *maximum likelihood* ditentukan dengan persamaan berikut:

$$a = log(N) + log(b ln 10) + M_0 b$$
 (5)  
Perhitungan yang digunakan untuk  
menentukan nilai *error a-value*  
menggunakan persamaan berikut:

$$\sigma_a = a(b + \sigma_b) - a(b) \tag{6}$$

Dengan  $\sigma_a$  adalah nilai error a-value dan  $\sigma_b$  adalah nilai error b-value, a dan b merupakan parameter dari a-value dan b-value.

Estimasi Mc diasumsikan sebagai distribusi hukum pangkat (power-law). Pada data yang tidak lengkap, hukum pangkat (power-law) tidak dapat merepresentasikan **FMD** secara baik sehingga terdapat perbedaan selisih data yang tinggi. Kemudian untuk menghasilkan data yang sesuai perlu dilakukan perhitungan kecocokan kurvatur (R) untuk mengetahui kesesuaian antara FMD yang sedang diamati dengan data sintetis [13]. Berikut merupakan persamaan yang digunakan untuk menentukan uji kesesuaian (R):

$$R(a, b, M_i) = 100 - \left(\frac{\sum_{Mi}^{Mmax} |B_I - S_i|}{\sum_{i}^{n} B_i}\right) \quad (7)$$

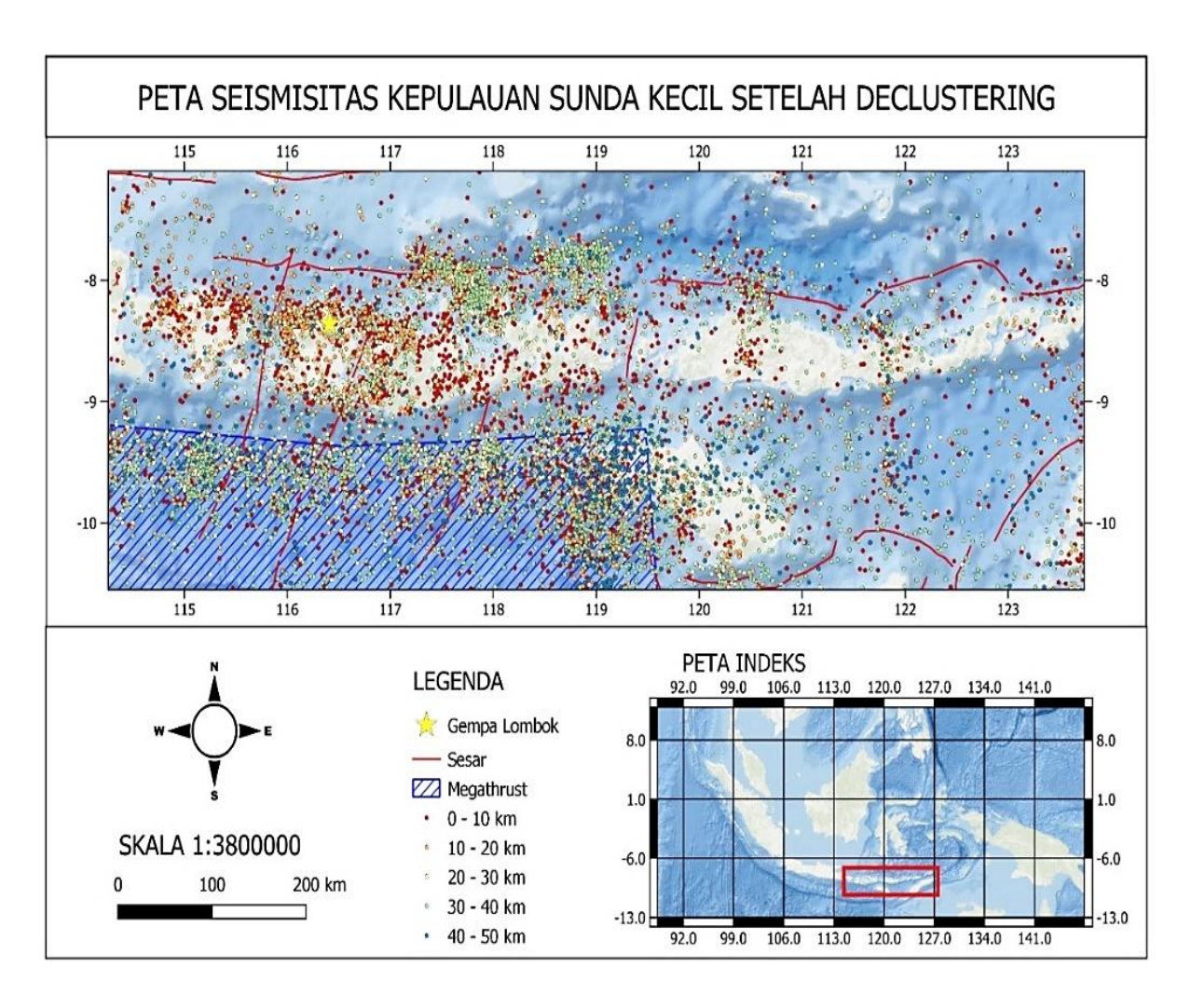
Nilai R adalah nilai kecocokan kurvatur dalam persen (100%),  $B_i$  merupakan data observasi kumulatif kejadian gempa dan  $S_i$  merupakan data prediksi pada jumlah kumulatif kejadian gempa dalam magnitudo.  $M_i$  merupakan *magnitude of completeness* (Mc) sebagai fungsi dari R.

#### 2. Bahan dan Metode

Data katalog gempa bumi yang digunakan dalam penelitian diperoleh dari International Seismological Centre (ISC) dan Badan Meteorologi Klimatologi Geofisika (BMKG) wilayah kepulauan Sunda Kecil dan area gempa Lombok periode 1964-2022 yang bersifat open source dengan ketentuan besaran gempa yang digunakan

adalah 0,8-7,5 magnitudo dan kedalaman 0,1-50 km (Gambar 1 dan Gambar 2). Data katalog gempa terdiri atas waktu kejadian, tanggal kejadian, longitude, latitude, kedalaman. magnitudo. Setelah itu melakukan penyeragamaan magnitudo M, Mb, Ms, ML kedalam bentuk magnitudo momen (Mw). Kemudian dilakukan proses declustering untuk memisahkan data gempa utama (mainshock) dengan data gempa awal (foreshock) dan gempa susulan (aftershock). Proses declustering menggunakan metode Uhrhammer. Metode ini memiliki jarak windowing yang tidak luas, sehingga data yang dihilangkan tidak terlalu banyak.

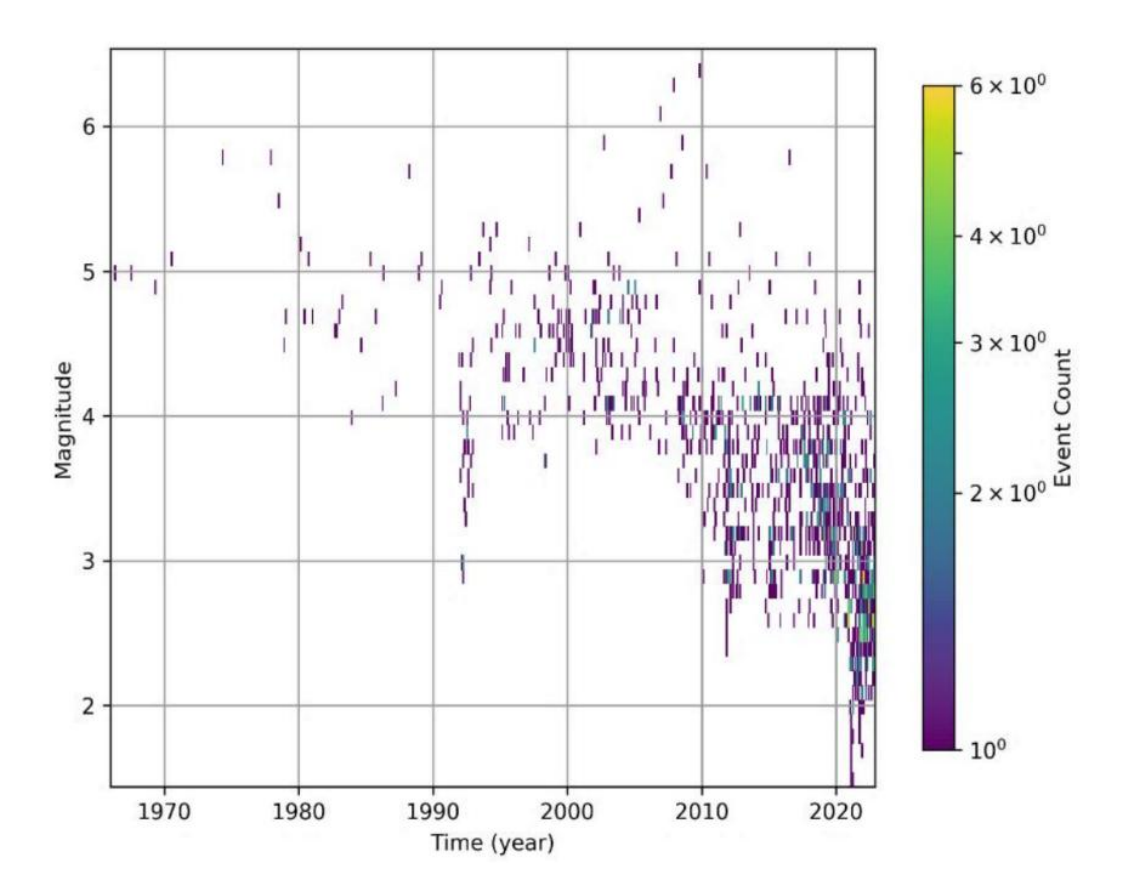
Kemudian untuk memperoleh a-value dan b-value menggunakan metode maximum likelihood. Saat menentukan a-value dan bvalue terlebih dahulu dilakukan pengolahan distribusi frekuensi-magnitudo (FMD) dengan data yang diperoleh sekitar area gempa Lombok berada dalam radius jarak 50 km dari sumber gempa. Dari FMD akan diperoleh magnitude of completeness (Mc). Nilai Mc sangat mempengaruhi a-value dan b-value, karena dalam melakukan analisis seismik untuk data gempa yang digunakan harus lengkap dan konsisten. Setelah memiliki beberapa nilai Mc, selanjutnya dapat melakukan pemilihan kurva FMD yang paling sesuai antara jumlah kumulatif data dengan b-value.



Gambar 1. Peta seismisitas wilayah kepulauan Sunda Kecil Periode 1964-2022 dengan kedalaman 0,1-50 km setelah *declustering* 

Pemetaan variasi spasial *a-value* dan *b-value* menggunakan *software* Zmap 6.0 yang berbasis MATLAB [14]. Pemetaan variasi spasial *a-value* dan *b-value* menggunakan data katalog yang telah dilakukan proses *declustering* untuk wilayah Kepulauan Sunda Kecil. Proses estimasi spasial dilakukan dengan membagi area penelitian ke dalam bentuk grid dengan radius konstan 5 km.

Ukuran grid yang digunakan pada pengolahan adalah  $0.5^{\circ} \times 0.5^{\circ}$  yang dihitung dalam setiap pertemuan grid dengan jumlah minimal kejadian gempa sebanyak 25 events. Setelah melakukan proses pemilihan radius konstan dan Mc, selanjutnya proses pemetaan a-value dan b-value secara spasial untuk melihat wilayah yang berpotensi terhadap gempa signifikan.



Gambar 2. Distribusi data katalog gempa area sesar Flores (segmen Lombok) berdasarkan magnitudo dan jumlah kejadian gempa.

Pada variasi temporal b-value menggunakan data katalog gabungan antara ISC dan BMKG untuk wilayah sekitar area gempa Lombok menggunakan metode sliding time-window dengan proses windowing yang digunakan selama 1 tahun pada setiap perhitungan dan overlap 1 bulan. Data yang digunakan dalam variasi temporal *b-value* merupakan data yang terlebih dahulu dilakukan proses declustering untuk area sesar Flores segmen Lombok. Pada estimasi temporal *b-value* dapat dihitung berdasarkan jumlah kejadian gempa (N) di setiap timewindow dengan overlap yang dilakukan selama satu bulan [15]. Hasil estimasi variasi temporal b-value area gempa Lombok yang

diamati berada dalam rentang waktu 2 tahun sebelum dan setelah terjadi gempa bumi Lombok 2018.

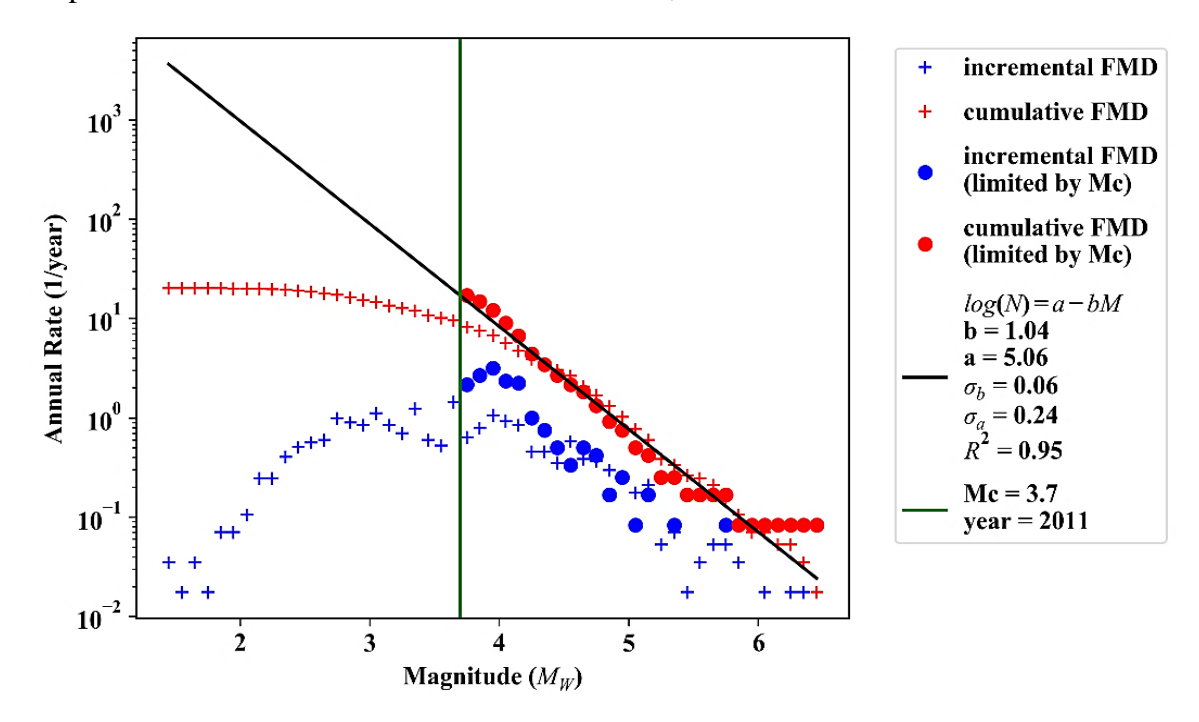
#### 3. Hasil dan Pembahasan

Penelitian ini menggunakan data katalog gempa gabungan antara ISC dan BMKG periode 1964-2022 untuk wilayah kepulauan Sunda Kecil dengan data yang diperoleh sebanyak 22.262 kejadian. Kemudian dilakukan proses *declustering* menggunakan metode [16] dengan peroleh data menjadi 13.961 kejadian. Data katalog yang sudah di *declustering* wilayah kepulauan Sunda Kecil akan digunakan untuk penentuan *a-value* dan *b-value* secara spasial-temporal.

Frequency Magnitude Distribution (FMD) digunakan untuk mengetahui aktivitas kegempaan di suatu wilayah yang memiliki hubungan dasar dengan studi kegempaan serta menggambarkan hubungan antara frekuensi dengan besarnya magnitudo gempa bumi (Gambar 3). Berdasarkan hasil Frequency Magnitude Distribution (FMD) diperoleh nilai magnitude of completeness (Mc) area sekitar gempa Lombok sebesar 3,7. Nilai Mc merupakan magnitudo terkecil yang terekam secara baik pada katalog ISC dan BMKG.

Magnitude of completeness (Mc) merupakan parameter yang berperan penting dalam penentuan *a-value* dan *b-value*. Selain

nilai Mc, pada kurva FMD juga diperoleh parameter a-value sebesar 5,06 dan b-value sebesar 1.04 (Gambar 3). Berdasarkan hasil a-value yang diperoleh dari FMD untuk wilayah area gempa Lombok memiliki tingkat kegempaan yang cukup tinggi. Sedangkan untuk *b-value* yang diperoleh dari **FMD** memiliki nilai yang rendah. Berdasarkan penelitian sebelumnya, b-value yang rendah memiliki tingkat stress batuan tinggi sehingga dapat berpotensi terhadap gempa bumi signifikan [17]. Pada FMD juga diperoleh nilai error a-value dan b-value yang rendah yaitu nilai error a-value sebesar 0.024 dan nilai error b-value sebesar 0,06.



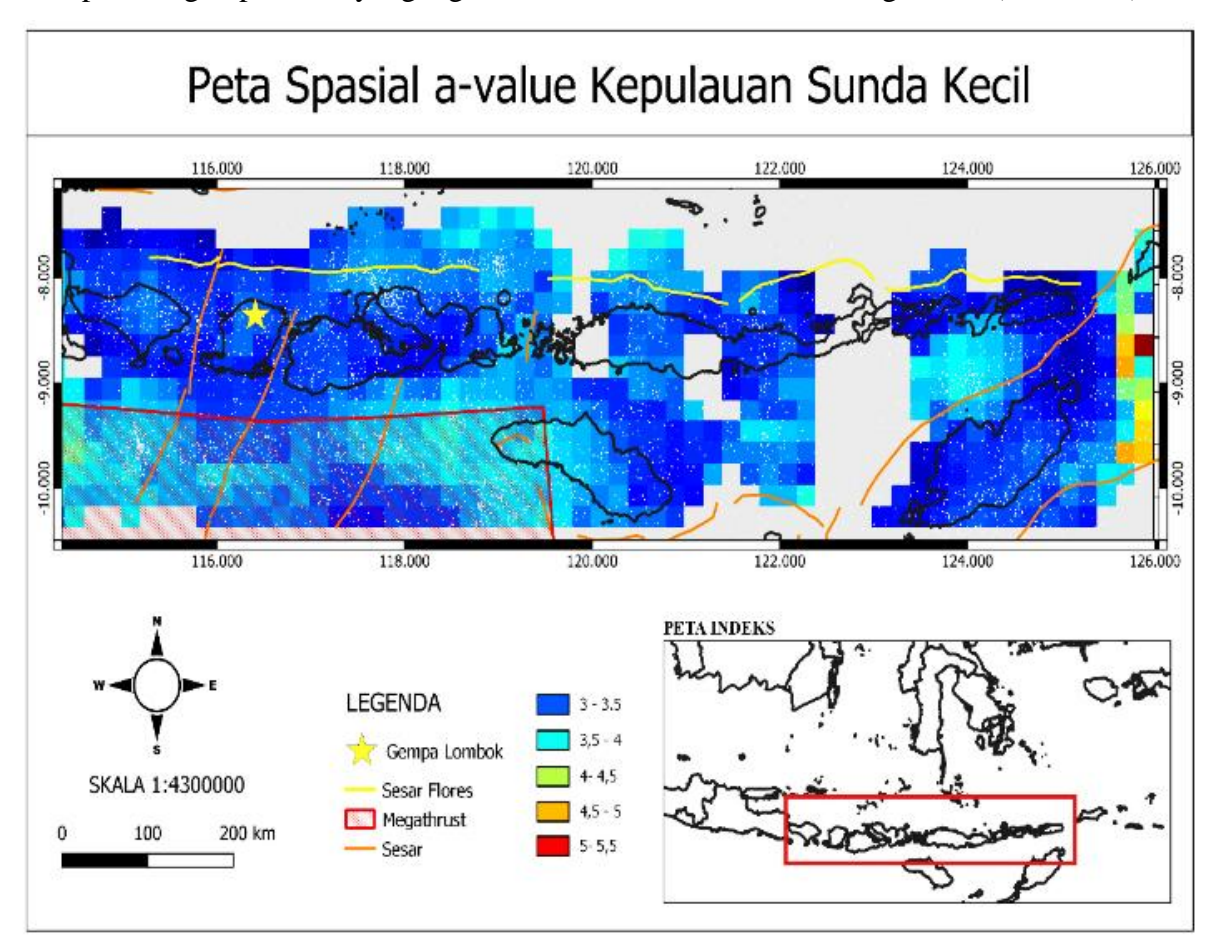
Gambar 3. Kurva Frequency Magnitude Distribution (FMD) area sesar Flores back arc thrust (Segmen Lombok)

Parameter *a-value* adalah parameter seismik yang dipengaruhi oleh banyaknya jumlah kejadian gempa dan luas daerah pengamatan [18]. Variasi spasial *a-value* 

untuk wilayah kepulauan Sunda Kecil khususnya area gempa Lombok memiliki nilai minimum sebesar 3,0 dan nilai maksimum 5,5 yang lebih didominasi oleh *a*-

value yang relatif rendah sebesar 3,0-4,0 yang ditandai dengan gradasi berwarna biru muda hingga biru tua yang mengindikasikan bahwa wilayah sekitar area gempa Lombok memiliki tingkat kegempaan yang cenderung rendah,potensi gempa bumi yang signifikan.

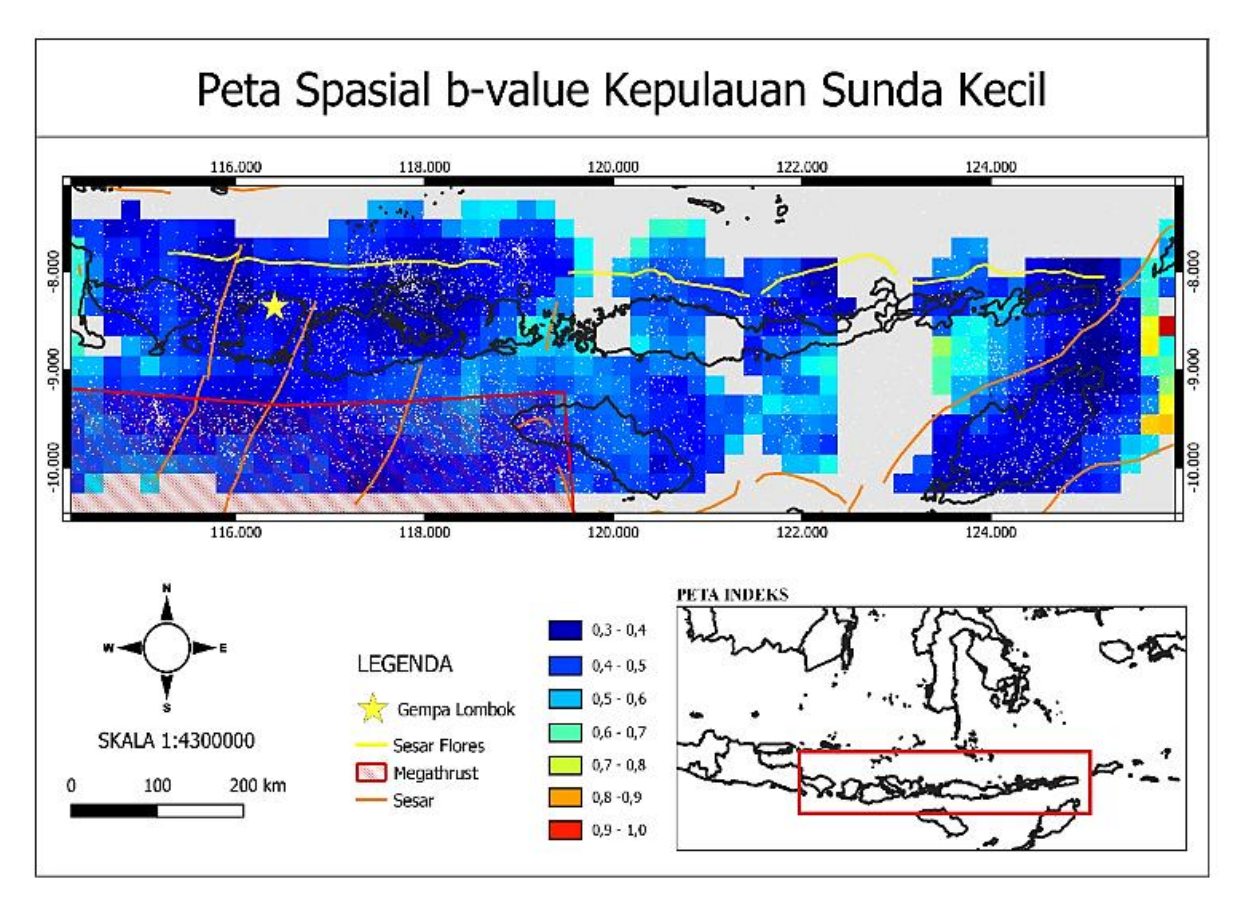
Selain itu, terdapat *a-value* yang tinggi sebesar 4 – 5,5 ditandai dengan gradasi berwarna kuning hingga merah yang terletak di Pulau Timor bagian timur dengan tingkat kegempaan yang cukup tinggi akibat aktivitas zona megathrust (Gambar 4).



Gambar 4. Distribusi variasi spasial *a-value* wilayah Kepulauan Sunda Kecil dari katalog ISC dan BMKG 1964-2018

Parameter *b-value* merupakan parameter tektonik yang menunjukkan potensi terjadi gempa bumi dengan magnitudo berkekuatan besar. Selain itu, *b-value* juga menggambarkan tingkat akumulasi *stress* suatu wilayah, untuk *b-value* relatif rendah memiliki tingkat *stress* tinggi, sedangkan *b-value* relatif tinggi memiliki tingkat *stress* 

yang rendah [19]. Berdasarkan Gambar 5 untuk wilayah kepulauan Sunda Kecil dan area sekitar gempa Lombok 2018 memiliki *b-value* yang rendah berkisar 0,3 – 0,5 yang mengindikasikan bahwa wilayah tersebut berpotensi terhadap gempa bumi dengan kekuatan yang besar karena memiliki tingkat *stress* pada batuan yang tinggi.

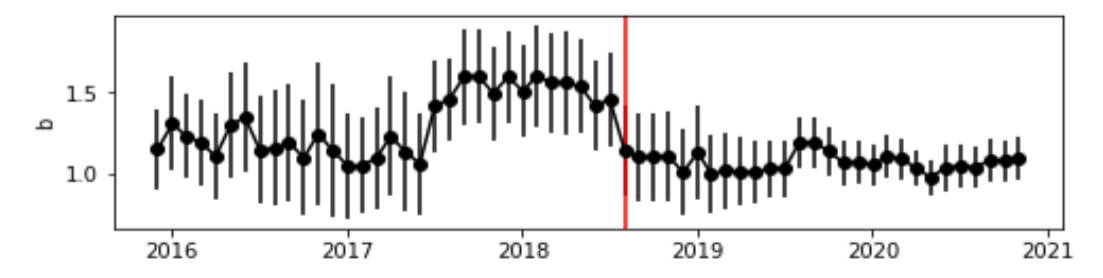


Gambar 5. Distribusi variasi spasial *b-value* wilayah Kepulauan Sunda Kecil dari katalog ISC dan BMKG 1964-2018

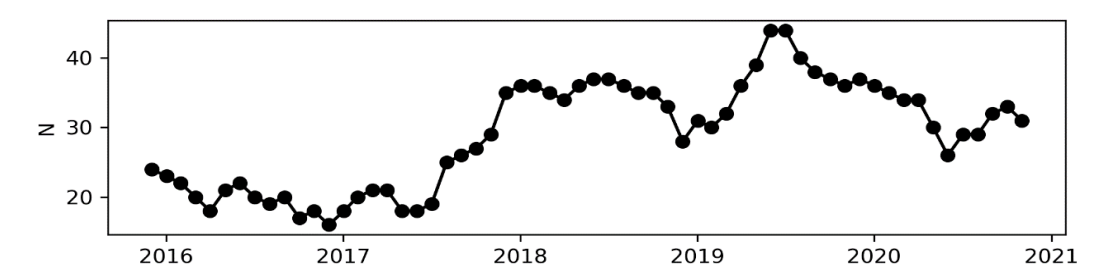
Variasi temporal *b-value* dilakukan untuk mengetahui periode perulangan kejadian gempa bumi, serta untuk dan mengetahui adanya peningkatan penurunan b-value terhadap waktu yang dijadikan sebagai prekursor dalam gempa bumi [20]. Berdasarkan penelitian sebelumnya yang menjelaskan bahwa sebelum terjadi gempa bumi besar, terlebih dahulu mengalami peningkatan b-value dalam jangka waktu menengah yang diikuti penurunan b-value dalam jangka waktu minggu hingga bulan [21].

Variasi temporal *b-value* dua tahun sebelum terjadinya gempa Lombok 2018 yang terlihat pada Gambar 6 pada bulan Desember 2015 hingga Juni 2017 memiliki bvalue yang tidak stabil dengan rentang nilai berkisar 1,0-1,4. Sedangkan pada bulan Juli 2017 hingga Juni 2018 b-value mengalami peningkatan dengan nilai yang mendominasi sebesar 1,4-1,5. Hal ini disebabkan oleh adanya peningkatan aktivitas gempa yang dapat dilihat pada Gambar 7 disertai dengan kenaikan *b-value* akibat adanya proses pelepasan energi yang terjadi secara bertahap menghasilkan hingga gempa-gempa berukuran kecil yang dekat dengan nilai Mc [22,21,23,24]. Pada bulan Juli hingga awal Agustus 2018 terjadi penurunan b-value yang signifikan dengan nilai mendekati Penurunan b-value tersebut mengkonfirmasi bahwa sebelum terjadinya gempa besar, pada umumnya diikuti dengan penurunan *b-value* seperti yang terjadi pada penelitian sebelumnya [6]. Kemudian peningkatan *b-value* yang diikuti oleh penurunan *b-value* juga mengindikasikan potensi gempa bumi besar [15]. Kasus yang terjadi pada gempa Lombok 2018 memiliki kesamaan dengan

kasus gempa bumi yang terjadi di wilayah episentrum India-Myanmar pada Agustus 1988 yang terlebih dahulu mengalami peningkatan *b-value* secara bertahap diikuti dengan penurunan *b-value* dalam jangka waktu yang singkat sebelum terjadi gempa besar [22].



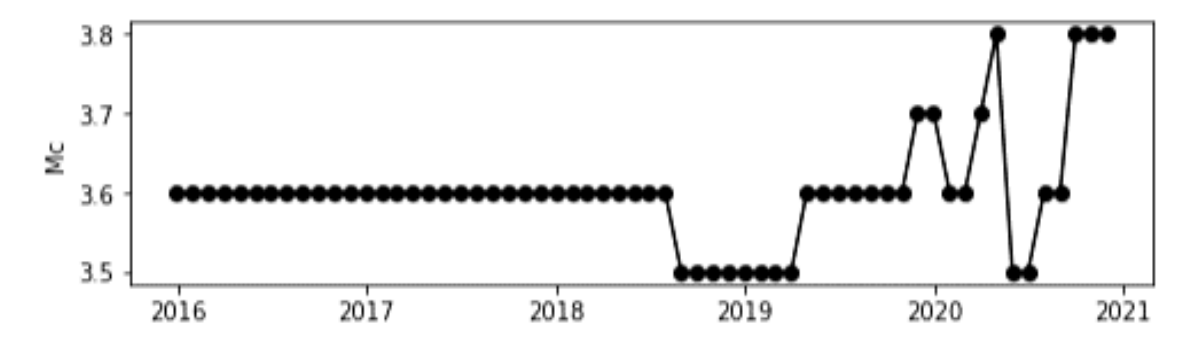
Gambar 6. Variasi temporal *b-value* periode Desember 2015- November 2020 dengan *windowing* 1 tahun (*fix* Mc 3,6). Garis merah merupakan Gempa Lombok 5 Agustus 2018.



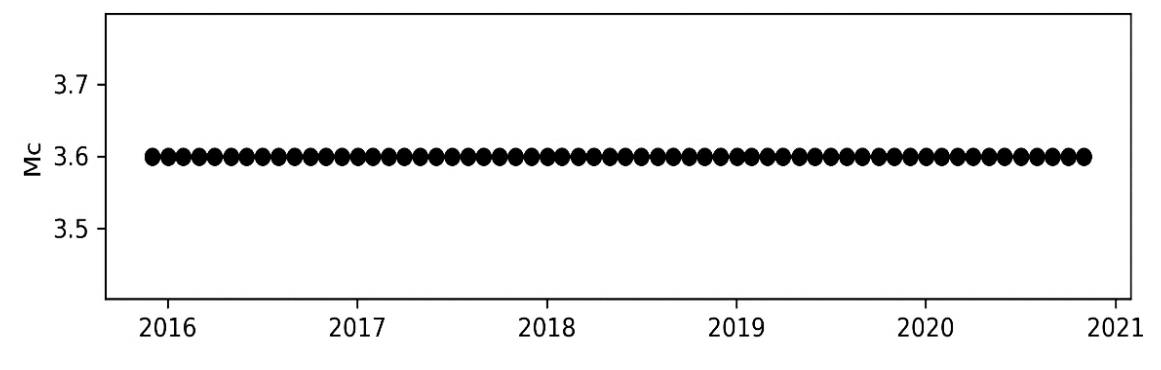
Gambar 7. Jumlah kumulatif kejadian gempa bumi (N) terhadap waktu periode Desember 2015- November 2020

Pada penelitian ini dilakukan penetapan nilai Mc sebesar 3,6 (Gambar 9). Penetapan nilai Mc tersebut berdasarkan Mc paling dominan yang berasal dari variasi Mc untuk periode Desember 2015 - November 2020 (Gambar 8). Penetapan Mc perlu dilakukan untuk membandingkan parameter *b-value* 

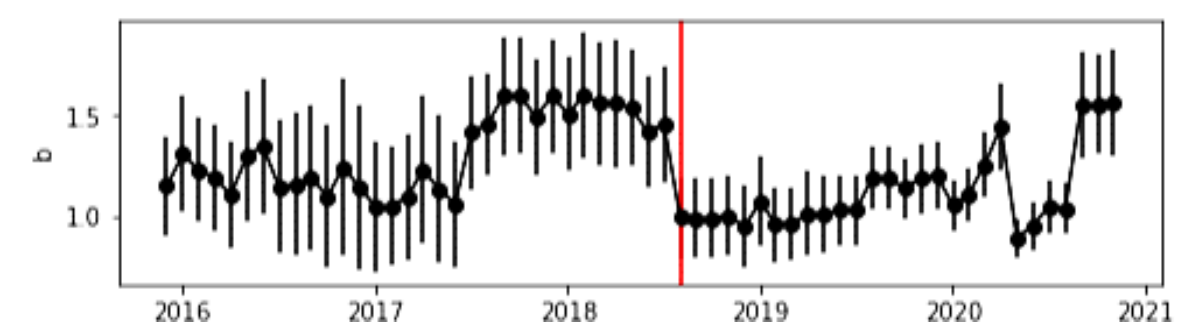
yang paling sesuai dengan keadaan yang sebenarnya. Jika dilihat pada Gambar 10. terdapat *b-value* yang mengikuti nilai dari variasi Mc, sehingga *b-value* tersebut tidak mewakili hasil yang sebenarnya karena peningkatan dan penurunan pada *b-value* tersebut dipengaruhi oleh nilai variasi Mc.



Gambar 8. Variasi Mc untuk katalog periode Desember 2015- November 2020



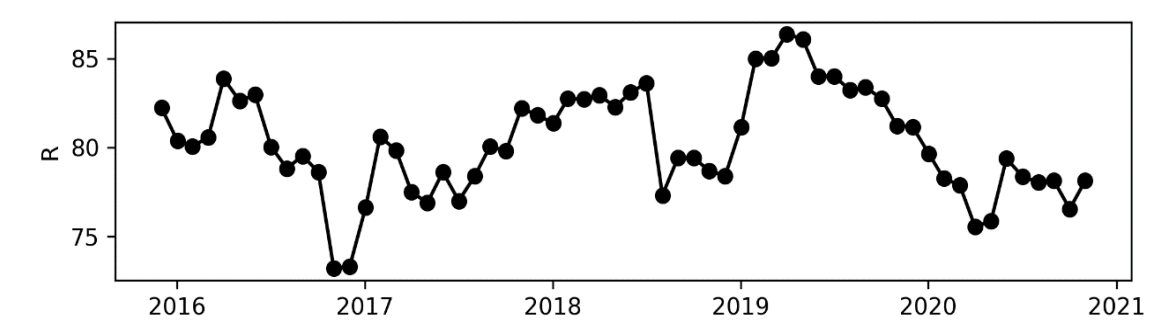
Gambar 9. Variasi Mc untuk katalog periode Desember 2015- November 2020



Gambar 10. Variasi temporal b-value menggunakan Mc variasi periode Desember 2015- November 2020

Estimasi nilai Mc perlu dilakukan untuk melihat kecocokan kurvatur pada FMD. Pada data katalog yang tidak lengkap, hukum pangkat (power law) tidak dapat merepresentasikan **FMD** secara baik sehingga nilai kecocokan kurvatur (R) yang dihasilkan akan bernilai rendah. Kemudian dilakukan perhitungan nilai kecocokan kurvatur (R) untuk melihat kecocokan antara distribusi frekuensi-magnitudo (FMD) dengan data sintetis, semakin tinggi nilai R

yang dihasilkan maka kecocokan antara distribusi pada FMD dengan distribusi data sintetis memiliki kecocokan yang baik pada katalog gempa yang digunakan. Penelitian ini menghasilkan nilai kecocokan kurvatur(R) dengan variasi yang cukup baik yaitu berkisar di antara 74%-86%, sehingga dapat disimpulkan data katalog yang digunakan dalam penelitian memiliki nilai Mc yang cukup baik (Gambar 11).



Gambar 11. Nilai kesesuaian (R) antara distribusi observasi dan distribusi sintesis periode Desember 2015-November 2020

## 4. Simpulan

Berdasarkan *Frequency Magnitude Distribution* (FMD) area Sesar Flores (Segmen Lombok) diperoleh nilai Mc sebesar 3,70 dengan parameter *a-value* yang diperoleh sebesar 5,46 dan *b-value* sebesar 1,04.

Sedangkan untuk hasil estimasi persebaran variasi spasial a-value dan bvalue untuk wilayah kepulauan Sunda Kecil diperoleh a-value berkisar 3,0 - 5,5 dan b*value* berkisar 0,3 – 0,5. Wilayah Kepulauan Sunda Kecil didominasi oleh a-value dan bvalue relatif rendah yang mengindikasikan bahwa wilayah ini memiliki tingkat akumulasi stress yang tinggi, serta berpotensi terhadap gempa bumi signifikan.

Berdasarkan variasi temporal *b-value*, 2 tahun sebelum terjadinya gempa Lombok 2018 terdapat peningkatan *b-value* yang terjadinya secara bertahap hingga mengalami penurunan *b-value* secara signifikan pada Agustus 2018 dan 2 tahun sesudah terjadinya gempa Lombok 2018 untuk nilai *b-value* yang dihasilkan cukup konstan tidak terdapat

banyak peningkatan atau penurunan pada *b*-value.

## 5. Ucapan Terima Kasih

Tim penulis menyampaikan terimakasih kepada pihak *International Seismological Centre* (ISC) dan Badan Meteorologi Klimatologi Geofisika (BMKG) yang telah menyediakan data sekunder dalam penelitian ini. Ucapan terimakasih juga ditujukan kepada dosen pembimbing yang memberikan masukan bermanfaat untuk kesempurnaan jurnal ini.

# 6. Referensi

- 1. Bird, P. (2003). An updated digital model of plate boundaries. *Geochemistry*, *Geophysics*, *Geosystems*, 4(3).
- Pusat Studi Gempa Nasional (Indonesia). (2017). Peta sumber dan bahaya gempa Indonesia tahun 2017.
   Pusat Penelitian dan Pengembangan Perumahan dan Permukiman, Badan

- Penelitian dan Pengembangan, Kementerian Pekerjaan Umum.
- Irsyam, M., Hanifa, N. R., & D. Diarwadi. (2018).Kajian Rangkaian Gempa Lombok, Provinsi Nusa Tenggara Barat. Pusat Studi Gempa, Pusat Litbang Perumahan dan Pemukiman, Kementerian Pekerjaan Umum dan Perumahan Jakarta Rakyat, (2018)(inIndonesian).
- 4. Han, Q., Wang, L., Xu, J., Carpinteri, A., & Lacidogna, G. (2015). A robust method to estimate the b-value of the magnitude–frequency distribution of earthquakes. *Chaos, Solitons & Fractals*, 81, 103-110.
- 5. Risanti, H., & Prastowo, T. (2021). Estimasi parameter a-value dan b-value untuk analisis studi seismisitas dan potensi bahaya bencana gempa tektonik di wilayah maluku utara. *Inovasi Fisika Indonesia*, 10(1), 1-10.
- 6. Scholz, C. H. (1968). The frequency-magnitude relation of microfracturing in rock and its relation to earthquakes. *Bulletin of the seismological society of America*, 58(1), 399-415.
- 7. Ernandi, F. N. (2020). Analisis variasi a-value dan b-value dengan menggunakan software zmap v. 6 sebagai indikator potensi gempa bumi

- di wilayah Nusa Tenggara Barat. *Inovasi Fisika Indonesia*, 9(3), 24-30.
- 8. Nishimura, T., Iguchi, M., Hendrasto, M., Aoyama, H., Yamada, T., Ripepe, M., & Genco, R. (2016). Magnitude–frequency distribution of volcanic explosion earthquakes. *Earth, Planets and Space*, 68, 1-12.
- 9. Gutenberg, B., & Richter, C. F. (1944). Frequency of earthquakes in California. *Bulletin of the Seismological society of America*, 34(4), 185-188.
- 10. Hamson, G. (2004). The tectonic evolution of East Timor and the Banda Arc. School of Earth Sciences, University of Melbourne.
- 11. Mignan, A., & Woessner, J. (2012). Estimating the magnitude of completeness for earthquake catalogs. *Community online resource for statistical seismicity analysis*, 1-45.
- 12. Utsu, T. (1965). A method for determining the value of b in a formula log n= a= bM showing the magnitude frequency relation for earthquakes. *Geophys. Bull. Hokkaido Univ.*, *13*, 99-103.
- 13. Wiemer, S., & Wyss, M. (2000). Minimum magnitude of completeness in earthquake catalogs: Examples from Alaska, the western United

- States, and Japan. Bulletin of the Seismological Society of America, 90(4), 859-869.
- 14. Shi, Y., & Bolt, B. A. (1982). The standard error of the magnitude-frequency b value. *Bulletin of the Seismological Society of America*, 72(5), 1677-1687.
- 15. Wyss, W., Wiemer, S., & Zúñiga, R. (2001). Zmap A Tool For Analyses Of Seismicity Patterns Typical Applications And Uses: A Cookbook Table of Content.
- 16. Ngadmanto, D. (2010). Penentuan Potensi Gempa Bumi Merusak Berdasarkan Parameter Kegempaan di Wilayah Busur Banda. Widyariset, 13(2), 125-132.
- 17. Uhrhammer, R. (1986).
  Characteristics of northern and southern California seismicity:
  Earthquake Notes, v. 57.
- 18. Rohadi, S. (2009). Distribusi Spasial dan Temporal Seismotektonik Wilayah Subduksi Jawa. *Megasains*, 1(4), 180-188.
- Linda, L., Ihsan, N., & Palloan, P. (2019). Analisis distribusi spasial dan temporal seismotektonik berdasarkan nilai b-value dengan menggunakan

- metode likelihood di Pulau Jawa. *Jurnal Sains dan Pendidikan Fisika*, 8(3), 269-278.
- 20. Gerstenberger, M., Wiemer, S., & Giardini, D. (2001). A systematic test of the hypothesis that the b value varies with depth in California. *Geophysical Research Letters*, 28(1), 57-60.
- 21. Fitriyati, N., Wijaya, M. Y., & Bisyri, M. A. (2022). Variasi spasial dan temporal nilai-b pada gempa bumi di wilayah Sulawesi Tengah, Gorontalo, dan sekitarnya menggunakan metode robust fitting. Majalah Ilmiah Matematika dan Statistika, 22(2), 177-195.
- 22. Sammonds, P. R., Meredith, P. G., & Main, I. G. (1992). Role of pore fluids in the generation of seismic precursors to shear fracture. *Nature*, *359*(6392), 228-230.
- 23. Sahu, O. P., & Saikia, M. M. (1994). The b value before the 6th August, 1988 India-Myanmar border region earthquake—A case study. *Tectonophysics*, 234(4), 349-354.